

04; 07

© 1992

ЭНЕРГЕТИЧЕСКИЕ ХАРАКТЕРИСТИКИ  
АТОМНОЙ КОМПОНЕНТЫ ПЛАЗМЫ СИЛЬНОТОЧНОГО  
ВАКУУМНОГО ДУГОВОГО РАЗРЯДА

А.А. Логачев, С.М. Школьник

1. Одним из важнейших для физики сильноточного вакуумного дугового разряда (СВДР) является вопрос об энергетических характеристиках поступательного движения тяжелой компоненты плазмы в межэлектродном промежутке (МЭП). Ранее [1] нами были опубликованы результаты измерений энергетических характеристик ионов. В настоящей работе проведены измерения атомной компоненты

В МЭП вакуумной дуги могут присутствовать атомы различного происхождения. Быстрые атомы с энергиями направленного движения в десятки эВ могут выноситься в МЭП катодными струями. Источников низкоэнергетичных атомов может быть несколько. Испарение атомов происходит с поверхности пронизывающих МЭП капель катодного материала, генерируемых функционирующими катодными пятнами. Еще один источник атомов – поверхность отмирающих катодных пятен. Атомы могут поступать в МЭП с поверхности распыляемого быстрым катодным ионами анода. Принято считать, что последние два источника не слишком эффективны [2, 3]. По мнению автора [3], основное поступление атомов происходит за счет испарения с поверхности катодных капель.

2. Эксперименты проводились с разрядом, горевшим между торцевыми электродами из бескислородной меди (диаметр 20 мм, межэлектродное расстояние 8 мм). Разряд питался одиночными прямоугольными импульсами тока  $I \approx 1.2$  кА; длительность импульса  $\tau \approx 1.2$  мс, длительность переднего фронта  $\leq 100$  мкс. Подробно устройство разрядного узла и способы измерения электрических характеристик разряда описаны в [4].

В настоящей работе измерялись контуры спектральной линии  $CuI \lambda = 8092.6$  Å при наблюдении вдоль (в дальнейшем – „продольный“ контур) и поперек („поперечный“) оси разряда. Эта линия была выбрана для измерений, т. к. среди уединенных линий  $CuI$  в спектре дуги она имеет наименьшее сверхтонкое расщепление.

Оптическая система состояла из интерферометра Фабри-Перо, скрещенного с монохроматором МДР-23. Регистрация фотоэлектрическая в режиме счета фотонов. Временное разрешение (длительность стробирования частотометра) – 100 мкс. Измерения проводились через 500 мкс после поджига разряда. Контуры измерялись по точкам при сканировании наклоном интерферометра. Значения в каждой точке получалось усреднением по десяти импульсам. Каждое

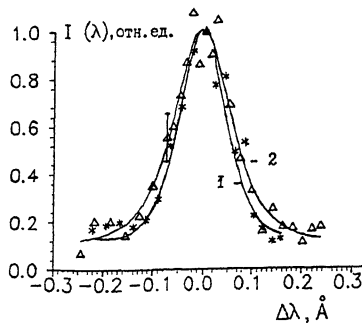


Рис. 1. Контуры спектральной линии  $CuI$  ( $\lambda = 8092.6 \text{ \AA}$ ). 1 - при наблюдении вдоль оси разряда; 2 - поперек оси на расстоянии 4 мм от анода.

измерение спектральной интенсивности по контуру нормировалось на интегральную интенсивность линии в данном импульсе (перед интерферометром была установлена светофильтровальная пластинка, и часть света направлялась на щель монохроматора МДР-3 с фотоэлектрической регистрацией). Юстировка установки и контроль несмешенного положения исследуемой линии осуществлялись с помощью спектральной лампы ЛТ-2 с полым катодом из меди. Вдоль оси разряда излучение выводилось с помощью кварцевого моноволокна  $\varnothing 0.8 \text{ mm}$ , вводимого сквозь отверстие в аноде. Пространственное разрешение  $\lesssim 1.5 \text{ mm}$ . В поперечном направлении излучение сбивалось по диаметру разряда из цилиндрической области, отстоящей от анода на 1 мм, либо на 4 мм (середина МЭП). Пространственное разрешение  $\approx 1 \text{ mm}$ . Более детально методика оптических измерений описана в [5].

3. Результаты измерений приведены на рис. 1 и 2. На рис. 2 (кривая 1) также приведен контур исследуемой спектральной линии, излучаемый спектральной лампой ЛТ-2. Видно, что „продольный“ контур симметричен и не смешен (рис. 1, кривая 1). „Поперечный“ контур, измеренный в центре МЭП (рис. 1, кривая 2), по форме и полуширине практически совпадает с „продольным“ контуром, в то время как „поперечный“ контур, измеренный вблизи анода (рис. 2, кривая 2) оказался значительно шире.

Полученные результаты позволяют сделать следующие качественные выводы. 1. Катодная струя является слабым источником по сравнению с другими возможными источниками атомов (испарение летящих с катода капель, ион-атомная эмиссия с анода и др.). На это указывает отсутствие сдвига продольного и не столь значительное, как у иона [1], уширение поперечных контуров. 2. Различие в полуширинах поперечных контуров показывает, что основной вклад в излучение из прианодной области и из центра МЭП вносят атомы, имеющие различное происхождение. Атомы, источником которых является анод, должны иметь среднюю энергию несколько эВ (средняя энергия в спектре ион-атомной эмиссии [6]), а атомы, испаренные

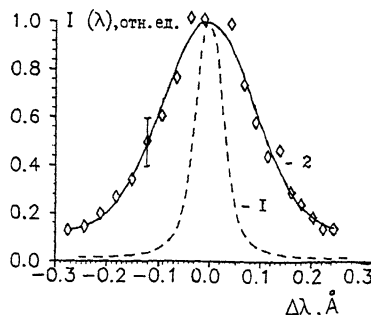


Рис. 2. Контуры спектральной линии  $CII$  ( $\lambda = 8092.6 \text{ \AA}$ ). 1 - в спектральной лампе ЛТ-2; 2 - при наблюдении поперек оси разряда на расстоянии 1 мм от анода.

с капель - малую энергию направленного движения (скорость капель  $V \leq 10^4 \text{ см/с}$  [7]) и относительно низкую температуру - несколько десятых долей эВ, близкую к температуре поверхности капель. З. Близость полуширины „продольного“ и „поперечного“, измеренного в центре МЭП, контуров указывает на то, что вклад более „горячих“ анодных атомов в интенсивность выводимого вдоль оси разряда излучения мал. Это, однако, не позволяет утверждать, что основной механизм поступления в МЭП атомов - испарение с капель. Нужно учитывать, что капли - объемный, а анод - поверхностный источник атомов. Эмиттируемые анодом атомы быстро „выгорают“ по мере продвижения в глубину плазмы (температура электронов в СВДР  $T_e \approx 3 \text{ эВ}$  [4]); атомы эффективно ионизируются на малых расстояниях от анода).

4. При обработке результатов измерений по методу наименьших квадратов форма искомого контура предполагалась фойгхтовской. Учитывалось уширение за счет Штрак-эффекта, а вид аппаратной функции принимался лоренцовским. При расчете штраковского уширения значение концентрации плазмы бралось  $n \approx 5 \cdot 10^{14} \text{ см}^{-3}$  [8]. Температура атомов по результатам обработки поперечных контуров составляет: в прианодной области  $T_{aa} = (5 \pm 1) \text{ эВ}$ , в центре межэлектродного промежутка  $T_{ak} = (0.5 \pm 0.6) \text{ эВ}$ . Обработка „продольного“ контура дает температуру  $T_a = (0.4 \pm 0.2) \text{ эВ}$ . Хотя большой разброс измеряемых интенсивностей позволяет только оценить сверху температуру атомов в центре МЭП, отличие ее от температуры у анода установлено вполне надежно.

В заключение отметим, что совпадение с точностью до погрешности наших измерений температуры атомов вблизи анода ( $T_{aa} = 5 \text{ эВ}$ ) и температуры „фоновых“ ионов ( $T_{ia} = 4.5 \text{ эВ}$ ), наличие значительной концентрации которых в МЭП СВДР было доказано ранее [1], является дополнительным подтверждением анодного происхождения последних.

# Список литературы

- [1] Логачев А.А., Митрофанов Н.К., Циркель Б.И., Школьник С.М. // Письма в ЖТФ. 1989. Т. 15. В. 9. С. 78-82.
- [2] Miller H.C. // J. Phys. D: Appl. Phys. 1979. V. 12. N 8. P. 1293-1298.
- [3] Boixman R.L., Goldsmith S. // J. Appl. Phys. 1981. V. 51(1). N 1. P. 151-161.
- [4] Schkolnik S.M. // IEEE Trans. Plas. Sci. 1985. V. PS-13. N 5. P. 336-338.
- [5] Afanas'ev V.P., Logatchev A.A., Mitrofanov N.K., Schkolnik S.M. Proc. XIV ISDEV. Santa Fe USA. 1990. P. 187-191.
- [6] Вернер Г. В кн.: Электронная и ионная спектроскопия твердых тел. / Под ред. Фирменса Л., Вэнника Дж., Декейсера В. М.: Мир, 1981.
- [7] Utsumi T., English J.H. // J. Appl. Phys. 1975. V. 46. N 1. P. 126-131.
- [8] Boixman R.L. // J. Appl. 1974. V. 45. N 11. P. 4835-4846.

Физико-технический институт  
им. А.Ф. Иоффе,  
С.-Петербург

Поступило в Редакцию  
12 февраля 1992 г.